

## مدل سازی دینامیکی موتور دیزل ۱,۶ لیتری با استفاده از روش مقدار متوسط

کامیار نیکزادفر

مدرس دانشگاه جامع علمی-کاربردی ایران خودرو

شرکت ایران خودرو

k.nikzadfar@gmail.com

علیرضا نورپور

استادیار دانشکده مهندسی راه آهن

دانشگاه علم و صنعت ایران

noorpoor@iust.ac.ir

موسوم به دفعات دوتابی شبه اتفاقی<sup>۱</sup> استفاده نمودند که قادر بود یک تابع انتقال گسته برای شبیه سازی عملکرد موتور ارائه دهد. روش ارائه شده توسط آنها یکی از اولین روش های موفقیت آمیزی است که قادر بود عملکرد موتور دیزل را به شکل مناسبی شبیه سازی نماید. مدل های پیوسته خطی شده محلی که با استفاده از روش شناسایی فرکانسی یا اغتشاشات کم دامنه عمل می نماید روش های مرسم براي ايجاد مدل های خطی از عملکرد موتور است [۵].

روش های شبیه سازی غیر خطی مبتنی بر مدل را می توان به چند گروه کلی تقسیم بندي نمود: روش های شبیه پایستار<sup>۲</sup>، روش های پر و خالی شدن<sup>۳</sup> و روش مشخصه. اين مدل های مبتنی بر اصول ترمودینامیک، سالیان متمادی است که برای طراحی و تعیین کارآیی موتورها مورد استفاده قرار می گيرد. البته مدل های معدهودی برای مقاصد کنترلی موتورهای دیزل مورد استفاده قرار گرفته است [۶]. لیکن با پیشافت تکنولوژی های کامپیوتراي مدل های کنترل غیر خطی و نیز الگوريتم های مشاهده گر روز به روز در حال توسعه می باشند. مدل سازی موتورهای دیزل مجهز به توربوشارژ با استفاده از روش شبیه پایستار در اوایل دهه ۱۹۵۰ آغاز شد. توربوشارژer با استفاده از یک کامپیوترا هیبریدی، مدل موتورهای Ledger و Walmsley با استفاده از یک کامپیوترا Winterbore و همکارانش از دیزل مجهز به توربوشارژ را توسعه دادند. روش پر و خالی شدن برای توسعه مدل دینامیکی موتور دیزل استفاده نمودند [۷]. آنها از این طریق نقصان مدل های شبیه پایستار را در تخمین فشار چندراهه های موتور جبران نمودند و نتایج واقعی تری نسبت به مدل های شبیه پایستار کسب نمودند. Watson مدل شبیه ساز موتور دیزل را برای طراحی سامانه های الکترونیکی کنترل موتور دیزل گسترش داد [۸]. کامل ترین روش مدل سازی، روشی است که فرآیندهای جزئی احتراق داخل سیلندر را با استفاده از تحلیل های احتراق چند ناحیه ای، و فرآیندهای دینامیک گاز داخل چندراهه ها را با استفاده از روش پر و خالی شدن مدل نماید. روش های مختلفی برای کاهش زمان شبیه سازی و نیز کاهش مخارج اجرای مدل سازی ابداع شده و مورد استفاده قرار گرفته است. Lei از یک شبیه ساز سیکلیک برای یک موتور تک سیلندر دیزل استفاده نمود [۹]. در مدل وی، یک تابع درجه دوم معکوس برای پیش بینی رفتار فشار احتراق داخل سیلندر مورد استفاده قرار گرفته بود.

روش های مدل سازی دینامیکی موتور  
اصولاً دو روش کلی برای مدل سازی کنترلی موتور وجود دارد:  
الف) روش مقدار متوسط<sup>۴</sup>  
ب) روش سیلندر به سیلندر

چکیده: یکی از مهمترین بسترها مورد نیاز به منظور طراحی کنترل های حالت گذراي موتور، مدل سازی دینامیکی موتور می باشد. در این پژوهش، یک موتور ۱,۶ لیتری پرخوران تزریق غیرمستقیم با استفاده از روش مقدار متوسط مدل سازی شده است. مدل مذکور قادر است تغییرات سرعت موتور را بر حسب تغییرات نسبت سوخت به هوا، زمان پاشش سوخت، بار اعمالی به موتور و شرایط جوی شبیه سازی نماید. در این مدل سازی همچنین تأثیرات دمایی بر اصطکاک های اجزای درونی موتور در حین فرآیند گرم شدن، مدل سازی شده است. مدل مذکور قادر است سرعت و مصرف سوخت موتور را به عنوان تابعی در حوزه زمان بر حسب تغییرات متغیرهایی نظری نسبت هم ارزی هوا به سوخت، زمان پاشش سوخت، فشار و دمای هوای محیط و نیز میزان گشودگی شیر Wastegate مدل سازی نماید. به منظور مدل سازی از نرم افزار Matlab Simulink استفاده شده است.

کلید واژه: موتور دیزل، مدل مقدار متوسط، کنترل موتور

### مقدمه

موتورهای دیزل به علت مصرف پایین، آلودگی ناچیز و سهولت فرآوری سوخت دیزل به شدت مورد توجه می باشد، به نحوی که امروزه حدود ۶۰٪ خودروهای سواری موجود در اروپا از قوای محرکه دیزلی به منظور رانش خودرو استفاده می نمایند. از آنجا که عملکرد مناسب موتورهای دیزلی به شدت وابسته به زمان بندی و نحوه صحیح فرآیندهای پاشش سوخت می باشد، لذا کسب استانداردهای اجرایی آلایندگی و مصرف سوخت جز به مدد استفاده از سیستم های دقیق کنترلی میسر نمی باشد. به منظور طراحی کنترل های مناسب، مدلی دقیق و در عین حال ساده، مورد نیاز است، چنین مدل هایی علاوه بر کاربرد در فرآیند طراحی کنترل و به منظور زینه Hardware in Loop و Software in Loop در سیستم های

in Loop و نیز سیستم های عیب یابی موتور مورد استفاده قرار می گیرند. امروزه استفاده از مدل های دینامیکی عملکرد موتور به شدت مورد توجه طراحان سیستم های کنترل موتور قرار گرفته است. هرچه مدل مورد استفاده از دقت بالاتری برخودار باشد، به همان میزان مخارج آزمون های مورد نیاز برای طراحی و توسعه محصول کاهش می یابد. البته باید در نظر داشت افزایش دقت مدل به شدت وابسته به مرحله توسعه محصول است و استفاده از مدل های دقیق و پیچیده در مراحل اولیه طراحی موجب افزایش زمان تحلیل می گردد.

به منظور طراحی یک الگوريتم کنترلی غیر خطی مبتنی بر مدل به یک مدل غیر خطی از موتور نیازمندیم [۱-۲]. مدل های مورد استفاده می توانند به سادگی یک جدول جتسجو و یا به پیچیدگی یک مدل احتراقی چند ناحیه ای سه بعدی باشند. مدل سازی دینامیکی موتورهای دیزل یکی از حوزه های جذاب در مهندسی کنترل و مدل سازی است. در Flower و همکارانش [۳-۴] برای مدل های خطی موتور از یک فرآیند شناسایی

<sup>۱</sup> Pseudo Random Binary Sequences (P.R.B.S.)

<sup>۲</sup> Quasi-Steady

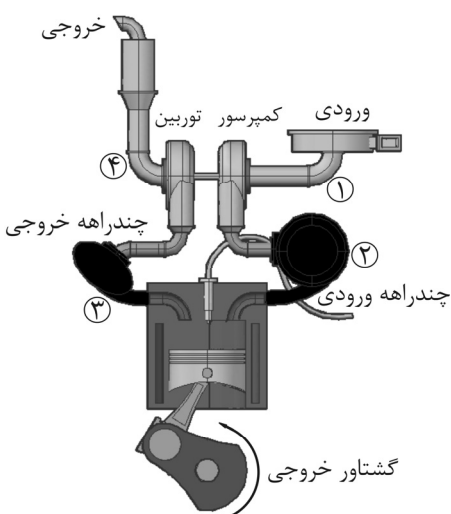
<sup>۳</sup> Fill and Empty method

<sup>۴</sup> Mean Value Model (MVM)

مشخصات موتور مدل شده به شکل جدول زیر است:  
جدول ۱ مشخصات هندسی و عملکردی موتور

۷۶/۵ mm	قطر سیلندر
۸۶/۴ mm	کورس
۱۵۸۸ CC	حجم جابجایی
۲۳:۱	نسبت تراکم
۵۰ kW @ ۴۰۰۰ rpm	توان بیشینه

مدل موتور، شامل چندراهه های ورودی و خروجی، توربشارژر، مدل تولید گشتاور، مدل اصطکاک درونی موتور و در نهایت مدل پویایی میل لنگ می باشد. به منظور سهولت در بیان روابط مورد استفاده و بیان شرایط فیزیکی در نقاط مختلف، از شماره گذاری موجود در شکل زیر استفاده شده است:



شکل ۱- تصویر موتور مدل شده و شماره گذاری نقاط مختلف

### مدل توربشارژر

توربشارژر به منظور افزایش راندمان حجمی موتورهای درونسوز مورد استفاده قرار می گیرد. اصولاً استفاده از توربشارژر باعث افزایش بازده کارآیی موتور خواهد شد [۱۴]. افزایش بازده تنفسی موتور ناشی از افزایش فشار هوای ورودی به موتور می باشد. از آنجا که در موتورهای دیزل، مسئله کوبیش همچون موتورهای بنزینی عامل محدودیت نمی باشد، لذا توربشارژر به شدت در موتورهای دیزل مورد استفاده قرار می گیرد. توربشارژر از انتالپی هوای پرفشار خروجی به منظور به حرکت در آوردن توربین استفاده نموده و از انرژی مکانیکی حاصله به منظور تحريك کمپرسور استفاده می نماید. امروزه تقریباً تمامی موتورهای دیزل مجهز به توربشارژر می باشند. از آنجا که خواص دینامیکی توربشارژر به طور مستقیم به خواص دینامیک گازهای عبوری وابسته است، لذا اصولاً شاهد لختی های شدید در کارآیی دینامیکی توربشارژر می باشیم. لختی های مذکور عمدها باعث بروز ناکارآمدی در عملکرد موتورهای مجهز به توربشارژر می شود. به منظور جبران این تاخیر زمانی از شیرهای Wastegate و یا توربین های هندسه متغیر<sup>۱</sup> استفاده می شود. شیر Wastegate یک شیر با سطح متغیر قابل کنترل است، این شیر یک مسیر موازی با توربین را باز می کند، در صورت باز شدن این مسیر، گاز خروجی، بجای عبور از توربین و تولید گشتاور از مسیر میانبر عبور کرده و باعث کاهش گشتاور تولیدی توربین می شود.

روش مقدار متوسط یکی از پرکاربردترین روش های مدل سازی دینامیکی موتور است. در این روش مقادیر مورد استفاده در مدل به صورت متوسط مقادیر حادث شده در ۵ الی ۱۰ سیکل متواتی موتور در نظر گرفته می شود. این مدل دارای تعداد زیادی معادلات جبری و نیز معادلات دیفرانسیل است. به منظور شناسایی پارامترهای مدل می توان از اطلاعات حالت پایا و گذرای موتور استفاده نمود. لیکن به منظور صحبت سنجه مدل تنها از اطلاعات حالت گذرای موتور استفاده می نمایند.

از آنجا که در این نوع مدل سازی تنها مقادیر متوسط مورد استفاده قرار می گیرد، لذا اختشاشات پرفکانس مدل نخواهد شد. اصولاً پهنهای باند این روش مدل سازی کم است. عدمه مزیت این روش مربوط به استفاده معادلات ساده و محاسبات سریع آن می باشد. این روش همچنین در فرآیند تطبیق توربشارژر و موتور مورد استفاده قرار می گیرد. یکی از نقاط ضعف این نوع مدل سازی، وابستگی شدید آن به اطلاعات آزمایشگاهی است. اصولاً متغیر مستقل در این نوع مدل سازی زمان است [۱۰].

بسیاری از پژوهش های صورت گرفته درخصوص مدل سازی موتور مبتنی بر این دیدگاه است [۷-۸] و [۱۱]. این نوع مدل سازی برای طراحی کنترلرهای عمومی موتور نظری کنترل میزان پاشش کلی پاششگرها و کنترل دور آرام مورد استفاده قرار می گیرد.

### روش سیلندر به سیلندر

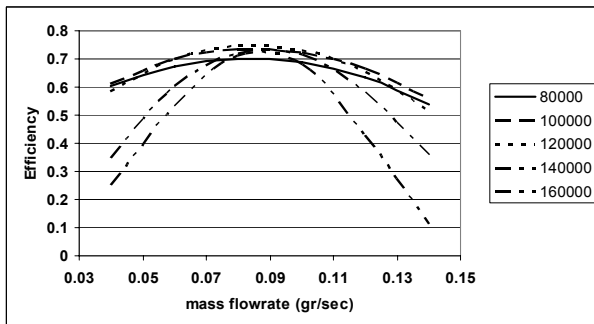
روش مدل سازی سیلندر به سیلندر موتور مبتنی بر روش پر و خالی شدن موتور است. در این روش اصولاً یک مدل احتراق تک ناحیه ای برای شبیه سازی تئوری نرخ سوختن مورد استفاده قرار می گیرد. در این حالت سیلندر به عنوان یک حجم کنترل با دما و فشار یکنواخت در نظر گرفته می شود. فشار سیلندر با استفاده از مدل مبتنی بر زاویه لنگ تخمین زده می شود. همچنین به منظور تخمین آثار نوسانی سرعت میل لنگ از یک مدل غیر خطی میل لنگ استفاده می شود. به منظور کنترل سیلندر به سیلندر موتور، محاسبه پارامترهای غیر خطی و نیز کاربری های عیب یابی از این نوع مدل سازی استفاده می شود. پهنهای باند مدل سازی در این روش نسبت به روش مقدار میانگین بسیار بالاست.

حجم محاسباتی و نیز دقت مربوط به این مدل سازی به نسبت مدل سازی پیش گفته بسیار بالا است. مدل سازی توربین و چندراهه ورودی و خروجی در مدل سازی سیلندر به سیلندر همانند مدل سازی مقدار متوسط است. تفاوت این دو نوع مدل سازی در شوه گشتاور (احتراق) [۱۲]، شبیه سازی جریان های سوپاپ های خروجی و ورودی و نیز مدل دینامیکی میل لنگ است.

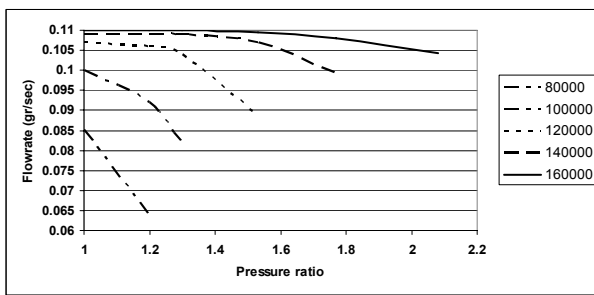
### مدل سازی موتور

به منظور شبیه سازی دینامیکی موتور از روش مقدار میانگین استفاده شده است. اطلاعات لازم برای شبیه سازی عملکرد موتور شامل مشخصه های عملکردی توربین و کمپرسور توربشارژر، اطلاعات بازده احتراق و ایجاد گشتاور، مشخصات وزنی و اینرسی اجزای متحرک موتور، احجام چندراهه ها و سیلندر ها و سایر پارامترهای مورد نیاز برای مدل سازی، از اطلاعات موجود برای یک موتور دیزل ۱.۶ لیتری گردآوری شده است. [۶]

در این مدل سازی اطلاعات حالت پایایی موتور به منظور زینه بندی مدل و اطلاعات حالت گذرای موتور به منظور صحبت سنجه مدل، مورد استفاده قرار می گیرد.



شکل (۲) - منحنی بازده کمپرسور بر حسب دبی جرمی گذرنده از کمپرسور در سرعت های مختلف



شکل (۳) - منحنی دبی جرمی گذرنده از کمپرسور بر حسب نسبت فشار در سرعت های مختلف

به عنوان مثال، دمای گاز خروجی از کمپرسور با استفاده از رابطه زیر محاسبه می شود :

$$T_r = T_1 \left\{ 1 + \frac{1}{\eta_c} \left[ \left( \frac{P_r}{P_1} \right)^{\frac{\gamma-1}{\gamma}} - 1 \right] \right\} \quad (3)$$

همچنین گشتاور لازم برای به حرکت در آوردن شافت کمپرسور با استفاده از رابطه زیر محاسبه می گردد:

$$T_c = \frac{\dot{m}_c C_{pa} T_1}{\eta_c \omega_{lc}} \left[ \left( \frac{P_r}{P_1} \right)^{\frac{\gamma-1}{\gamma}} - 1 \right] \quad (4)$$

در برخی انواع مدل سازی تمامی پارامترهای کمپرسور با استفاده از درونیابی مقادیر بدست آمده از آزمایش حاصل می شود [۱۶] و [۶]. لیکن در این صورت بر محاسباتی مدل بسیار بالا خواهد بود. فشار و دمای محیط، فشار چندراهه ورودی و سرعت دورانی کمپرسور، ورودی مدل و دبی جرمی هوا، دمای چندراهه ورودی و گشتاور مورد نیاز کمپرسور خروجی مدل می باشند. نسبت گرمایهای ویژه و گرمای ویژه در فشار ثابت به عنوان ثوابت مدل در شبیه سازی مورد استفاده قرار می گیرد. برای افزایش دقت می توان مقادیر فوق را به عنوان تابعی از دمای محیط در نظر گرفت، لیکن از آنجا که تعیینات این مقادیر در بازده تغییرات دمای محیط ناچیز است، لذا مقادیر فوق به صورت ثابت در مدل لحاظ شده است.

### مدل توربین

توربین وظیفه دارد گشتاور مورد نیاز برای دوران محور کمپرسور را فراهم نماید. در سیستم های سوپرشارژر بجای استفاده از توربین، گشتاور مورد نیاز مستقیما از محور میل لنگ به کمپرسور انتقال داده می شود، عمدۀ لختی سیستم های سوپرشارژر به علت استفاده از توربین می باشد. اطلاعات مربوط به توربین نیز توسط کارخانجات سازنده به صورت نقشه های

بدین ترتیب قدرت مجموعه توربشارژ کاهش می یابد و به تبع آن فشار چندراهه ورودی نیز کاهش خواهد یافت.

چنان که آمد، توربشارژر به مجموعه توربین، کمپرسور و محور واسط اتصال می شود. لذا لازم است در مدل سازی آن، مفاهیم فیزیکی حاکم بر اجزای مختلف آن تشریح و به صورت مناسب مورد استفاده قرار گیرد. در مدل سازی توربین در پی آنیم که روابط بین نسبت فشار و دبی گازهای عبوری گذرنده از توربین و کمپرسور را بیابیم. این روابط مورد استفاده در پدیده های گذرا نیز صادق باشد. کمپرسور و توربین مورد استفاده در توربشارژر موتور مورد نظر از نوع گریز از مرکز می باشد. منحنی های عملکرد کمپرسور و توربین اصولاً توسط کارخانه تولید کننده ارائه می شود و در مدل سازی های مورد استفاده قرار می گیرد. مدل سازی توربشارژر شامل زیر مدل های زیر است:

- کمپرسور
- توربین
- شیر Wastegate
- دینامیک شافت واسط، پره های توربین و کمپرسور

### مدل کمپرسور

کمپرسور وظیفه دارد فشار گازهای ورودی به موتور را افزایش دهد، به منظور افزایش فشار لازم است کار مکانیکی به کمپرسور تحويل داده شود. نسبت فشار، دمای های خروجی، گشتاور مورد نیاز، سرعت محور کمپرسور، دبی های عبوری و کارآیی کمپرسور از جمله شاخصه های عملکرد کمپرسور است که باید مورد مدل سازی قرار گیرد.

برخی پارامترهای پیش گفته جزو خواص منفرد یک کمپرسور است و برخی دیگر از خواص ذاتی کمپرسور ها است و عمدتاً از روابط ترمودینامیکی نشأت می گیرد. آن دسته از خواصی که منحصر مربوط به هندسه کمپرسور است، توسط کارخانه سازنده منتشر می شود و در فرآیند مدل سازی رایانه ای نیز به وسیله جداول جستجوی داده ها، همچون یک تابع دو متغیره، مقادیر مورد نظر را بر حسب ورودی های مختلف محاسبه و ارائه نمایند. در مدل سازی حاضر دبی توربین به عنوان توابعی از سرعت و نسبت فشار کمپرسور و بازده توربین به عنوان تابعی از سرعت و دبی جرمی گاز گذرنده از کمپرسور در نظر گرفته می شود.

$$\dot{m}_c = f_1(N_c, \frac{P_r}{P_1}) \quad (1)$$

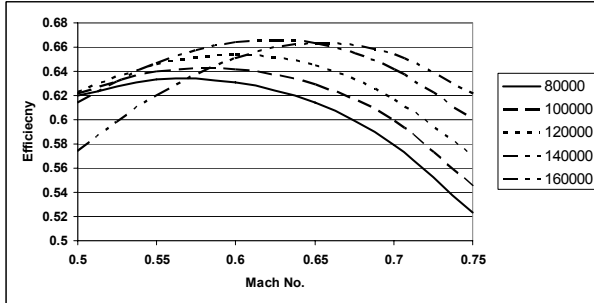
که در آن،  $N_c$  سرعت دورانی محور کمپرسور و  $P_r$  و  $P_1$  نیز به ترتیب فشار قبل و بعد از کمپرسور می باشد، همچنین :

$$\eta_c = f_2(N_c, \dot{m}_c) \quad (2)$$

که در آن  $\dot{m}_c$  دبی های گذرنده از کمپرسور است. در مراجع مختلف، توابع مختلفی برای تعیین پارامترهای عملکردی توربین مورد استفاده قرار می گیرد. به عنوان مثال Moskwa پیشنهاد داده است بازده توربین نیز به عنوان تابعی از نسبت فشار و سرعت شافت کمپرسور در نظر گرفته شود [۱۵].

چنان که گفته شد برخی شاخصه های عملکردی موتور ناشی از خواص ذاتی ترمودینامیکی کمپرسور است، پارامترهایی از قبیل گشتاور، دمای گاز متراکم شده از این دست شاخصه ها می باشند، برای محاسبه این گونه موارد لازم است از روابط ترمودینامیک حاکم استفاده شود.

که در آن  $C_t$  سرعت نوک پره و  $C_{p,e}$  سرعت صوت در چندراهه خروجی می‌باشد. منحنی تابع فوق به شکل زیر است.



شکل (۵) - نقشه بازده توربین بر حسب عدد ماخ نوک پره در سرعت‌های مختلف توربین

گشتاور تولیدی توسط توربین با استفاده از رابطه ترمودینامیکی زیر بدست می‌آید:

$$T_t = \frac{\dot{m}_t C_{p,e} T_r \eta_t}{\omega_{tc}} \left[ 1 - \left( \frac{P_f}{P_r} \right)^{\frac{\gamma_e - 1}{\gamma_e}} \right] \quad (8)$$

که در آن  $\eta_t$  بازده توربین،  $C_{p,e}$  گرمای ویژه فشار ثابت گازهای خروجی و  $T_r$  دمای گازهای ورودی به توربین می‌باشد. فشار و دمای ورودی به توربین (چندراهه ورودی)، فشار خروجی (فشار محیط) و سرعت دورانی محور توربین، پارامترهای ورودی و دبی گاز عبوری و نیز گشتاور تولیدی، پارامترهای خروجی مدل توربین می‌باشند.

#### مدل شیر Wastegate

چنان که گفته شد، شیر Wastegate یک مسیر فرعی برای جریان فراهم می‌آورد این شیر بین چندراهه خروجی و محیط واقع شده است. جریان گذرنده از شیر با استفاده از معادلات دینامیک گازهای تراکم پذیر مدل می‌شود، هرچه سطح عبور گاز بازتر باشد، جریان بیشتری از مسیر میانبر عبور می‌نماید و نتیجتاً توان تولید توربین کاهش می‌یابد. معادلات دینامیک گاز مورد استفاده برای تخمین دبی جریان‌های گذرنده از گلوگاه‌ها به صورت زیر است:

$$\dot{m}_{WG}(t) = c_d A(t) \cdot \frac{P_r}{\sqrt{R T_r}} \psi \left( \frac{P_r}{P_f} \right) \quad (9)$$

که در آن  $c_d$  ضریب تخلیه است که به استفاده از آزمایش اندازه گیری می‌شود و  $A(t)$  سطح گلوگاه است. همچنین تابع  $\psi \left( \frac{P_r}{P_f} \right)$  برای سیال هوا

به شکل زیر تعریف می‌شود:

$$\psi \left( \frac{P_r}{P_f} \right) = \begin{cases} \sqrt{\frac{1}{\sqrt{2}}} & P_f < \frac{1}{\sqrt{2}} P_r \\ \sqrt{\frac{2 P_r}{1 - \frac{P_f}{P_r}}} & P_f \geq \frac{1}{\sqrt{2}} P_r \end{cases} \quad (10)$$

به منظور سهولت، ورودی مدل Wastegate به صورت درصد گشودگی شیر تعریف می‌شود.

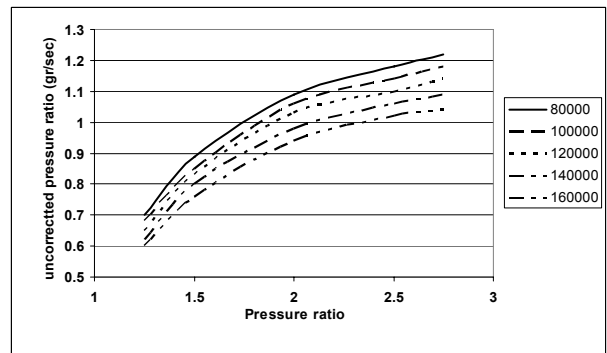
عملکردی در دسترس می‌باشد. سرعت دورانی محور توربین، دبی گاز گذرنده، گشتاور تولیدی، نسبت فشار و دمای گاز ورودی به توربین از عواملی است که باید در مدل سازی مورد توجه قرار گیرد. همچون کمپرسور، برخی از خواص عملکردی توربین نیز به سیله جداول جستجوی دو بعدی در مدل مورد استفاده قرار می‌گیرد. در این حالت دبی هوای گذرنده از توربین تابعی از سرعت محور و نسبت فشار می‌باشد [۶] و [۱۵]. تابعیت دبی از پارامترهای پیش گفته توسط رابطه زیر بیان می‌گردد.

$$\dot{m}_t = f \left( N_t, \frac{P_r}{P_f} \right) \quad (5)$$

باید توجه نمود که پارامتر فوق دبی تصحیح نشده است، برای تصحیح دبی گازهای گذرنده و لحاظ تاثیرات فشار و دما از رابطه زیر استفاده می‌شود:

$$\dot{m}_{corr,t} = \dot{m}_t \frac{\sqrt{T_r}}{P_r} \quad (6)$$

اصولاً توابعی نظری تابع فوق و توابع مورد استفاده در مدل سازی کمپرسور را می‌توان با استفاده از شیوه‌های انطباق منحنی‌های قانون مدار به روابطی بر حسب متغیرها نشان داد. Hendricks و همکارانش در لایاتور اتموسایون دانشگاه صنعتی دانمارک، روابطی ارائه داده اند که می‌تواند مقادیر حاصل از آزمایش را به صورت روابط جبری تفسیر نماید. استفاده از این روابط در تعیین قوانین کلی حاکم بر توربوماشین‌ها مفید است، لیکن از آنجا که نرم افزار مورد استفاده برای شبیه سازی قادر است توابع عددی را به صورت جداول چند بعدی دریافت نموده و درونیابی نماید، در پژوهش حاضر از روابط تجربی حاکم استفاده نشده است.



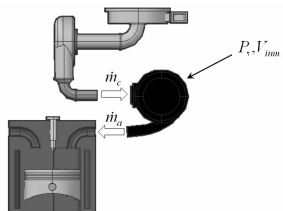
شکل (۶) - نقشه دبی جرمی تصحیح نشده گذرنده از توربین بر حسب نسبت فشار در سرعت‌های مختلف توربین

باید توجه نمود که منحنی فوق در هر دور، تنها در بخشی از مقادیر نسبت فشار صادق است. در یک توربین گریز از مرکز بازده توربین اساساً تابعی از نسبت سرعت ایزنتروپیک انسپاس و سرعت نوک پره می‌باشد [۱۷]. این در حالی است که برخی مراجع نظری پژوهش Moskwa [۱۵] بازده توربین به عنوان تابعی از سرعت توربین و نسبت فشار در نظر گرفته شده است. در برخی مراجع بجای استفاده از مقادیر مستقیم دبی و نسبت فشار از پارامترهای کمکی که اثرات فشار و دما را لحاظ می‌نمایند استفاده شده است. این گونه مدل سازی‌ها گرچه دقت مدل را افزایش می‌دهد، لیکن سرعت محاسبات را به شدت افزایش داده و موجب کندی روند حل مدل می‌شود [۱۰]. در پژوهش حاضر بازده توربین به عنوان تابعی از عدد ماخ متناظر با سرعت نوک پره توربین در دمای خروجی توربین، مطابق رابطه زیر در نظر گرفته شده است.

$$\eta_t = f \left( N_t, \frac{u_t}{C_s} \right) \quad (7)$$

### چندراهه ورودی

ورودی چندراهه ورودی، هوای متراکم شده ناشی از کمپرسور می‌باشد. این هوای پس از قرار گرفتن در چندراهه ورودی توسط حرکت پیستون به داخل سیلندر مکیده خواهد شد.



شکل (۷) - جریان های ورودی و خروجی چندراهه ورودی

دبی هوای ورودی به سیلندر (خروجی از چندراهه ورودی) به صورت متوسط زمانی، با استفاده از روابط بازده تنفسی موتور به شکل زیر محاسبه می‌گردد.

$$\dot{m}_a = \frac{\eta_v \cdot \rho \cdot V_d \cdot N}{120}, \quad \rho = \frac{P_v}{RT_v} \quad (12)$$

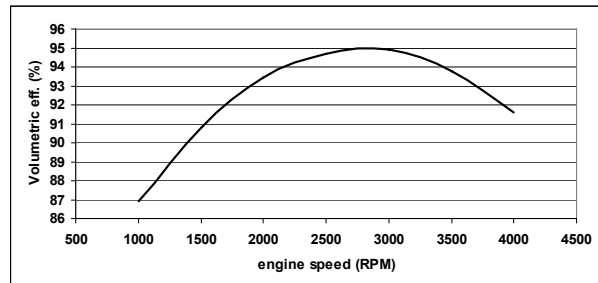
روش‌های مختلف در تعداد پارامترهای تاثیرگذار بر بازده تنفسی موتور ارائه شده است، تفاوت روش‌های مختلف در تعداد پارامترهای تاثیرگذار بر بازده تنفسی می‌باشد. روشی که در پژوهش خود بازده تنفسی را تابعی از سرعت و فشار چندراهه Moskwa می‌داند [۱۵]. حال آنکه Hendricks معتقد است بازده حجمی تنها تابعی از سرعت موتور می‌باشد [۶]. در یک تحلیل دقیق‌تر، بازده تنفسی به شکل زیر مدل سازی شده است که در پژوهش حاضر از آن استفاده شده است [۱۰]. در این تحلیل فرض می‌شود بازده تنفسی به صورت حاصل ضرب تابعی از فشار چندراهه ورودی و تابعی از سرعت بیان می‌شود.

$$\eta_v(P_v, N) = \eta_{v,p}(P_v) \eta_{v,N}(N) \quad (13)$$

که در آن  $\eta_{v,N}(N)$  تابعی است که با استفاده از آزمایش موتور در سرعت‌های مختلف حاصل می‌شود، همچنین تابع  $\eta_{v,p}(P_v)$  به شکل زیر تعریف می‌شود:

$$\eta_{v,p}(P_v) = \frac{V_c + V_d}{V_d} - \left( \frac{P_v}{P_t} \right)^{1/k} \cdot \frac{V_c}{V_d} \quad (14)$$

چنان‌که دیده می‌شود، بازده تنفسی تابعی از فشار چندراهه ورودی، فشار محيط و سرعت موتور می‌باشد. نتایج حاصل از آزمایش بازده حجمی نسبت به سرعت، به شکل زیر است [۶] :



شکل (۸) - تغییرات بازده پاشش موتور بر حسب زاویه پاشش

می‌توان چندراهه ورودی را به صورت یک عنصر بدون حجم در نظر گرفت، لیکن در این صورت تغییرات فشار چندراهه شبیه سازی نخواهد شد که این خود از اعتبار مدل خواهد کاست. از آنجا که تغییرات دمایی در چندراهه ورودی ناچیز است می‌توان از اثرات انتقال حرارت در چندراهه چشم پوشی

### مدل دینامیک محور و پره ها

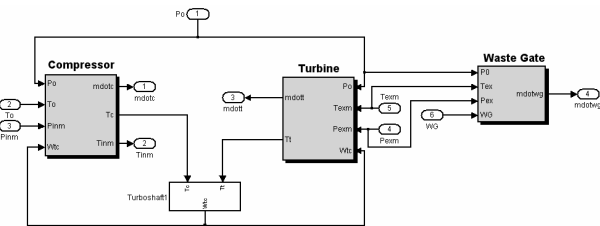
چنان‌که پیش از این دیدیم، مجموعه توربواشرز از سه بخش مجزا تشکیل شده است. کمپرسور و توربین دو بخش اصلی آن می‌باشند. لیکن ارتباط آنها توسط یک شافت صورت می‌پذیرد. شافت مذکور باید گشتاور تولیدی را از توربین دریافت نموده و به کمپرسور انتقال دهد. کارآیی دینامیکی آن (پره‌های توربین و کمپرسور) مربوط است. در هنگام تغییرات سرعت توربواشرز تا حد زیادی به اینترسی دورانی این محور و اجزای متصل روی آن (پره‌های توربین و کمپرسور) اینترسی دورانی مربوط شده توسط توربین صرف افزایش اینترسی دورانی محور واحد و اجزای متصل به آن می‌شود.

رابطه دینامیکی حاکم بر محور توربواشرز به شکل زیر است:

$$T_t - T_c = I_{tc} \ddot{\theta}_{tc} \quad (11)$$

که در آن،  $T_t$  و  $T_c$  به ترتیب گشتاور تولیدی توربین و گشتاور مصرفی کمپرسور،  $I_{tc}$  اینترسی دورانی محور توربواشرز و پره‌ها و  $\ddot{\theta}_{tc}$  نرخ تغییرات سرعت دورانی محور توربواشرز می‌باشد.

با در دست بودن مدل توربین، کمپرسور و مدل دینامیکی محور واحد می‌توان مدل کامل توربواشرز را شبیه سازی نمود. باید توجه داشت که در این مدل سازی سرعت توربین و کمپرسور یکسان است. ذیلاً نمودار جعبه‌ای توربواشرز نشان داده شده است:



شکل (۶) - بلوك دیاگرام توربواشرز در محیط نرم افزار شبیه ساز

چنان‌که دیده می‌شود، ورودی‌های زیر مدل توربواشرز شامل فشار و دمای محيط، فشار و دمای چندراهه ورودی و فشار چندراهه خروجی است. همچنین دمای چندراهه ورودی و دبی جرمی گذرنده از توربین و کمپرسور خروجی‌های مدل توربواشرز می‌باشد.

### مدل سازی چندراهه‌ها

چندراهه‌ها در موتورهای احتراق داخلی به منظور تقسیم مناسب هوا بین سیلندر‌های مختلف و نیز جمع آوری گازهای خروجی از سیلندرهای مختلف مورد استفاده قرار می‌گیرند. چندراهه‌ها معمولاً دارای احجامی در حدود حجم جابجایی موتور می‌باشند. در برخی موتور‌ها همچنین یک محفظه آرامش در کنار چندراهه ورودی تعیینه می‌شود. فشار چندراهه ورودی و خروجی تاثیر بسزایی در بازده حجمی موتور و به تبع آن قدرت موتور دارد. فشار ورودی همچنین به عنوان شرایط اولیه احتراق داخل سیلندر مورد توجه می‌باشد و می‌تواند تاثیر بسزایی در تعیین میزان قدرت تولیدی موتور داشته باشد. همچنین نسبت فشار چندراهه خروجی به فشار چندراهه ورودی یکی از مهمترین عوامل برگشت گازهای خروجی است که به شدت بر بازده تنفسی موتور تاثیرگذار است. در تحلیل چندراهه‌ها هدف یافتن نحوه تغییرات شرایط گاز موجود در چندراهه (فشار و دما) بر اثر تغییرات حالت کارکرد موتور می‌باشد. در تحلیل‌های چندراهه‌ها، معمولاً از ترکیب قانون بقای جرم و نیز معادله حالت گازهای ایده‌آل استفاده می‌شود. اصولاً فرض می‌شود گازهای مورد نظر شرایط لازم برای اعتبار قانون گازهای ایده‌آل را دارا می‌باشند.

که در آن  $\dot{m}_a, \dot{m}_f, \dot{m}_{WG}, \dot{m}_t$  به ترتیب دبی توربین، دبی شیر Wastegate، دبی سوخت و دبی هوای موتور می‌باشند. همچنین دمای گاز داخل چندراهه خروجی نیز با استفاده از رابطه زیر محاسبه می‌گردد [۳۷] :

$$T_r = T_r \left( \frac{P_r}{P_r} \right)^{\frac{\gamma-1}{\gamma}} \left( 1 + \frac{q_{in}}{c_v T_r^{\gamma-1}} \right)^{\frac{1}{\gamma}} \quad (20)$$

که در آن  $r$  نسبت تراکم،  $\gamma$  نسبت گرمایان ویژه و  $q_{in}$  گرمای ورودی به سیکل می‌باشد.

### مدل تولید گشتاور

تولید گشتاور در موتور، به عنوان مهمترین پدیده بشمار می‌آید، چرا که اصولاً هدف از عملکرد موتور ایجاد گشتاور مکانیکی می‌باشد. مهمترین پدیده حاکم در ایجاد گشتاور توسط موتور، پدیده احتراق می‌باشد. اصولاً پدیده احتراق در موتورهای دیزل از نوع احتراق توان نفوذی<sup>۱</sup> و پیش آمیخته<sup>۲</sup> می‌باشد، لیکن عمدتاً از احتراق دیزل به عنوان احتراق نفوذی یاد می‌شود [۱۴]. در باب تحلیل و شبیه سازی احتراق در موتورهای دیزل مقالات متعددی به رشته تحریر در آمده است. مدل های مذکور قادرند با استفاده از فرضیات مناسب پدیده احتراق و نحوه تبدیل انرژی شیمیایی به حرارتی را با استفاده از قوانین حاکم بر احتراق سوخت های هیدروکربنی مورد مدل سازی قرار دهند. مدل سازی های مذکور عمدتاً مدل های استاتیکی می‌باشند و نتایج آنها به صورت توابعی نسبت به پارامترهای عملکردی موتور شناخته می‌شوند.

در مدل سازی های دینامیکی موتور، نظری آنچه در این پژوهش مورد استفاده قرار می‌گیرد، می‌توان از شبیه سازی احتراق به عنوان مدل تولید گشتاور استفاده نمود. به این روش اصطلاحاً روش مدل سازی سیلندر به سیلندر<sup>۳</sup> گفته می‌شود. در این روش می‌توان مدل سازی احتراق را با استفاده از روش ها بی بعد (تک ناحیه ای) یا چند ناحیه ای انجام داد. استفاده از مدل سازی احتراق در مدل های دینامیکی موتور موجب خواهد شد تا توان محاسباتی بسیار بالایی مورد نیاز باشد. نمونه ای از این شبیه سازی ها را می‌توان در مقاله Lei مشاهده نمود [۹]. در این مقالات پدیده احتراق به دقت مورد مدل سازی قرار گرفته است. روش های اخیر از نظر دقت بسیار بالا بوده و عمدتاً به منظور استفاده در فرآیند عیوب یابی موتورهای دیزل مورد استفاده قرار می‌گیرند.

روش دیگر مورد استفاده در مدل سازی تولید گشتاور به روش مقدار میانگین<sup>۴</sup> معروف است. در این حالت می‌توان بدون استفاده از شبیه سازی پدیده احتراق و تنها با استفاده از مقادیر آزمایشگاهی و یا نتایج مدل های دقیق اقدام به ایجاد یک جدول جستجو و یا تابع درونیاب به مثابه مدل تولید گشتاور اکتفا نمود. در این مدل سازی با در دست بودن بازده حرارتی موتور دیزل در شرایط مختلف می‌توان گشتاور تولیدی موتور را به شکل نسبتاً دقیق تخمین زد. رابطه مورد استفاده به شکل زیر می‌باشد:

$$T_i = m_f Q_{LHV} \eta_{fc} \quad (21)$$

که در آن  $m_f$  میزان سوخت تزریق شده به موتور در یک سیکل کامل (مجموع سوخت تزریق شده به کلیه سیلندرها)،  $Q_{LHV}$ ، ارزش حرارتی پایین گازوئیل و  $\eta_{fc}$  بازده تبدیل سوخت موتور می‌باشد.

اصولاً بازده تبدیل سوخت موتور تابعی از پارامترهای مختلف عملکرد موتور است، مسائلی از قبیل نسبت هم ارزی هوا به سوخت، سرعت موتور و زمان

کرد، در غیر این صورت با اعمال قانون اول ترمودینامیک و نیز استفاده از معادلات حالت گاز ایده آل خواهیم داشت [۱۸] :

$$\frac{dP_r}{dt} = \frac{\gamma R}{V_{im}} \left[ \dot{m}_c T_c - \sum_{cyl} \dot{m}_i T_i \right] \quad (15)$$

که در آن  $\dot{m}_c$  دبی هوای گذرنده از کمپرسور،  $T_c$  دمای گاز خروجی از کمپرسور،  $\dot{m}_i$  دبی هوای ورودی به هر سیلندر و  $T_i$  دمای متناظر آن می‌باشد. در این صورت با حل عددی فشار از رابطه بالا می‌توان با استفاده از قوانین گاز ایده آل دمای هوای موجود در چندراهه ورودی را بدست آورد:

$$m_{im} = \int \left( \dot{m}_c - \sum_{cyl} \dot{m}_i \right) dt + initial conditions \quad (16)$$

و با استفاده از آن:

$$T_r = \frac{P_r V_{im}}{R m_{im}} \quad (17)$$

با استفاده از فرض تغییرات دمایی ناچیز و چشم پوشی از اثرات انتقال حرارت می‌توان از یک رابطه دیگر برای یافتن فشار استفاده نمود، در پژوهش حاضر از این روش استفاده شده است [۱۴] :

$$\dot{P}_r + \frac{\eta_v V_d N}{12 V_{im}} P_r = \dot{m}_c \frac{RT}{V_{im}} \quad (18)$$

که در آن  $V_{im}$  حجم چندراهه می‌باشد.

ورودی های مدل چندراهه ورودی، مشتمل بر سرعت موتور، دبی خروجی کمپرسور، فشار محیط و دمای هوای خروجی از چندراهه و دبی هوای همچنین خروجی های این زیر مدل نیز شامل فشار چندراهه و دبی هوای ارسالی به موتور می‌باشد. زیر الگوی مذکور در تحلیل دینامیکی موتور شایر سزاوی دارد و در صورت حذف آن، بخش عمدۀ ای از دینامیک موتور شبیه سازی نخواهد شد. لذا دقت در انتخاب روابط حاکم و صحت سنجی مدل مذکور از اهمیت بخصوصی در طراحی مدل موتور برخوردار می‌باشد.

### چندراهه خروجی

چندراهه خروجی نیز همچون چندراهه ورودی یکی از احجام موثر در تنفس موتور می‌باشد، طراحی مناسب چندراهه و دقت در انتخاب طول شاخه های چندراهه می‌تواند قدرت موتور را تا حد بسیار زیادی افزایش دهد. به همین لحاظ عموماً فعالیت های گستردۀ ای در خصوص طراحی بهینه چندراهه خروجی و مسیر اگزوژن بعمل آمده است. در مدل سازی حاضر تنها به بررسی خواص ترمودینامیکی گاز موجود در آن اکتفا شده است و از سایر پدیده های موجود در چندراهه، نظری آکوستیک امواج موجود در آن صرفنظر شده است. گاز موجود در چندراهه که شامل محصولات احتراق می‌باشد پس از تخلیه از سیلندر وارد چندراهه شده و پس از اجتماع در آن برای به حرکت در آوردن توربین به سوی آن هدایت خواهد شد. هدف از مدل سازی چندراهه خروجی محاسبه فشار و دمای گاز موجود در آن می‌باشد. به همین منظور از معادلات پایستگی جرم و معادله قانون اول استفاده می‌نماییم.

به منظور بررسی فشار لازم است تا جریان های ورودی و خروجی چندراهه خروجی شناسایی شوند، جریان های ورودی به چندراهه، همان جریان خروجی از موتور است که شامل جریان هوا و سوخت می‌باشد. جریان های خروجی از چندراهه خروجی نیز شامل جریان توربین و جریان Wastegate می‌باشد [۱۹].

$$\dot{P}_r = \frac{R_r T_r}{V_{ex,m}} (\dot{m}_a + \dot{m}_f - \dot{m}_{WG} - \dot{m}_t) \quad (19)$$

<sup>1</sup> Diffuse Combustion

<sup>2</sup> Pre-Mixed Combustion

<sup>3</sup> Cylinder-by-Cylinder modeling

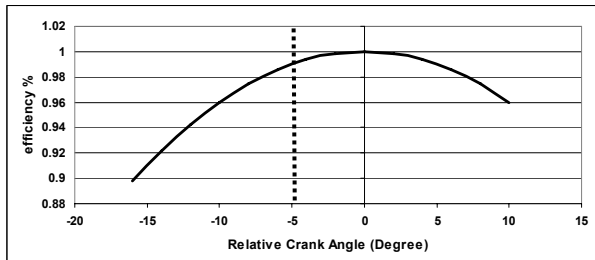
<sup>4</sup> Mean Value Modeling (MVM)

چنان که دیده می‌شود، بازده موتور با افزایش نسبت هوا به سوخت افزایش می‌یابد. این افزایش را می‌توان ناشی از افزایش میزان هوای در دسترس احتراق دانست. همچنین بازده موتور با افزایش سرعت موتور افزایش می‌یابد، این امر به علت افزایش تولید گرما در موتور و ناتوانی سیستم خنک سازی در اتلاف گرمای مذکور است. اصولاً عملکرد موتور نسبت به زمان شروع پاشش سوخت حساس است، در شرایط مختلف کارکرد موتور زمان بهینه‌ای برای پاشش سوخت وجود دارد.<sup>۲</sup> این پارامتر که بر حسب زاویه لنگ پیش از مرگ بالا تعریف می‌شود؛ تابعی از شرایط کاری موتور نظیر سرعت و فشار چندراهه ورودی است و با  $(N, P_1)$  نشان داده می‌شود. کاهش و یا افزایش زاویه شروع پاشش از مقدار MBT باعث افت بازده می‌شود. آزمایش‌ها نشان می‌دهد افت بازده به صورت تابعی درجه دو می‌باشد [۲۲].

$$\lambda_{\xi} = \frac{1 - k_{\xi}}{(N, P_1)} \quad (25)$$

که در آن  $(N, P_1)$  شرایط MBT و  $\xi$  زاویه پاشش سوخت می‌باشد. چنان که در بخش بعد خواهیم دید، معمولاً موتور در شرایط MBT عمل نمی‌نماید، بلکه زاویه پاشش اندکی کمتر از این حد در نظر گرفته می‌شود. شکل زیر نشان دهنده تغییرات بازده احتراقی حاصل از تغییرات زمان پاشش سوخت نسبت به زاویه نسبی بهینه پاشش است. به زبان دیگر زاویه صفر در شکل زیر گویای زاویه ای است که در موتور در آن حداکثر بازده را دارا می‌باشد.<sup>۳</sup>

از آنجا که تغییرات پارامتر زمان پاشش باید قادر باشد سرعت موتور را کاهش دهد، لذا مبنای زمان پاشش حدود ۵ درجه بحث تعیین می‌گردد. خط چین موجود در شکل گویای وضعیت مورد است. این کار باعث می‌شود کارآبی موتور همواره پایین تر از حداکثر مقدار ممکن خود باشد.



شکل (۱۰) - تغییرات بازده در زوایای پاشش نسبی

یکی دیگر از مهمترین مسائلی که در مدل سازی موتور باید مورد توجه قرار گیرد، توجه به نوسانات ایجاد گشتاور ناشی از تغییرات سیکل به سیکل و سیلندر به سیلندر موتور است. پدیده احتراق پدیده ای شدیداً غیر خطی و غیر قابل پیش‌بینی است [۱۴]. چنین اثراتی خاصه در دورهای پایین کارکرد موتور مشهود است. اثرات ناشی از تغییرات سیکل به سیکل به صورت یک ضربی اتفاقی روی گشتاور تولیدی مدل می‌شود. دامنه این ضربی اتفاقی بستگی به میزان اغتشاشات در تولید گشتاور دارد. ورودی‌های مدل تولید گشتاور شامل دیه هوای ورودی به موتور، سرعت موتور و نسبت هم ارزی و خروجی آن گشتاور ایجاد شده می‌باشد.

پاشش سوخت تاثیر بسزایی در تعیین بازده حرارتی موتور دارد [۱۰]. رابطه زیر بیان کلی از تاثیر پارامترهای مختلف عملکرد موتور بر بازده تبدیل سوخت است:

$$\eta_{fc} = \eta(\lambda, N, \xi) = \eta_N \cdot \eta_{\lambda} \cdot \eta_{\xi} \quad (22)$$

که در آن  $\xi$  زاویه پاشش سوخت می‌باشد. بنابراین تابع بازده، حاصل ضرب سه تابع است؛ که یکی بیانگر تأثیرات نسبت هم ارزی، یکی بیانگر تأثیرات سرعت و دیگری بیانگر تأثیرات زاویه پاشش می‌باشد. Hendricks در مقاله خود بازده حرارتی موتور را عمدتاً تابعی از نسبت سوخت به هوای موتور دیزل می‌داند. او همچنین معتقد است سرعت موتور نیز تا حدی بر بازده حرارتی موتور تأثیرگذار می‌باشد. تأثیر گذاری سرعت بر بازده حرارتی موتور به علت وجود انتقال حرارت به سیستم خنک کاری موتور است [۱۴]. در هر صورت نسبت هوا به سوخت نقش اصلی را در تغییرات بازده حرارتی موتور ایفا می‌نماید. چنان که می‌دانیم نسبت هوا به سوخت در موتورهای اشتعال تراکمی قابل تغییر است. به منظور نرمال سازی معیار سنجش نسبت سوخت به هوا عمدتاً از پارامتر  $\lambda$  (نسبت هوا به سوخت به نسبت هوا به سوخت استوکیومتریک) استفاده می‌شود. این شاخص اصطلاحاً نسبت سوخت به هوا عمدتاً از پارامتر  $\lambda$  نامیده می‌شود.

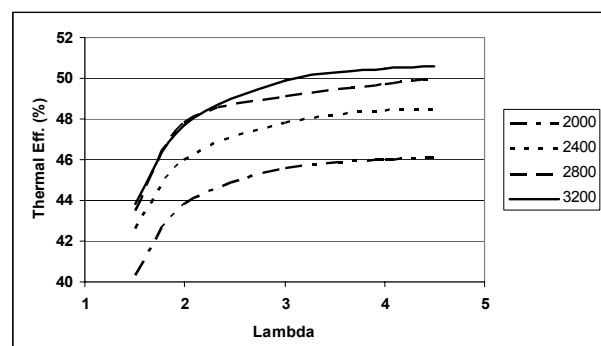
$$\lambda = \frac{\langle A/F \rangle_{act}}{\langle A/F \rangle_{stc}} = \frac{1}{\phi} \quad (23)$$

نسبت هم ارزی در موتورهای دیزل می‌تواند بسته به شرایط عملکردی موتور از ۱ تا ۱۰ متغیر باشد [۲۱]. بر اساس پژوهش Hendricks و همکارانش در دانشگاه صنعتی دانمارک، بازده حرارتی موتور دیزل با استفاده از تکنیک‌های درونیابی به صورت رابطه ای بر حسب پارامترهای سرعت موتور و نسبت هم ارزی قابل بیان است، تابع درونیاب پیشنهادی به شکل زیر است:

$$\eta_{\lambda, N} = \eta_N \cdot \eta_{\lambda} = (a_0 + a_1 N + a_2 N^2)(1 - k_{\lambda} \lambda^k) \quad (24)$$

این رابطه، نشان دهنده تأثیرات همزمان سرعت و نسبت هم ارزی بر بازده است. صحت این رابطه برای موتورهای دیزل با ابعاد و چیدمان‌های مختلف آزمایش شده و به تایید رسیده است و می‌توان از آن به عنوان یک رابطه کلی برای بیان بازده حرارتی موتور استفاده نمود [۶].

در این پژوهش بجای استفاده از تابع درونیابی از تکنیک درونیابی دو بعدی Matlab Simulink برای درونیابی اطلاعات موتور استفاده شده است. بازده حرارتی موتور به صورت نمودارهای حاصل از آزمایش که بر حسب نسبت هم ارزی هوا به سوخت در سرعت‌های مختلف اندازه گیری شده اند موجود است [۳۶]:



شکل (۹) - منحنی بازده حرارتی موتور بر حسب نسبت هم ارزی در سرعت‌های مختلف موتور

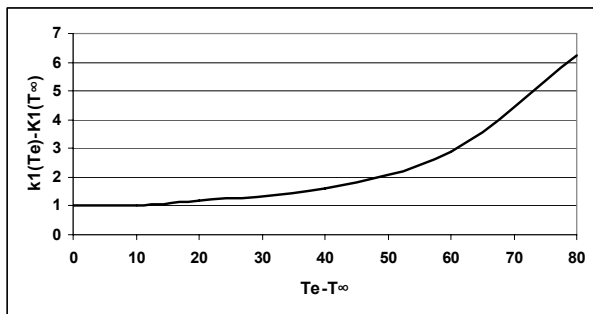
<sup>2</sup> Maximum Brake Torque (MBT)

<sup>3</sup> MBT (Maximum Brake Torque)

<sup>1</sup> Equivalence ratio

جدول (۲)- ضرایب k

$k_1(T_\infty)$	$1/44 \times 10^5 \text{ (mm)}$
$k_r$	$0/50 (-)$
$k_v$	$1/1 \times 10^{-3} \text{ (s}^3/\text{m}^3\text{)}$
$k_f$	$0/075 \text{ (m)}$

شکل (۱۱) منحنی تغییرات  $\frac{k_1(T_e)}{k_1(T_\infty)}$  بر حسب اختلاف دمای  $T_e - T_\infty$ 

که در آن  $T_\infty$  دمای موتور در حالتی است که به حالت گرم شدگی کامل رسیده است. دمای متغیر موتور تابعی از عملکرد و نیز دمای محیط است، نحوه تخمین دما به تفضیل مورد اشاره قرار گرفته است. تابع فوق به صورت جدول جستجوی یک بعدی در مدل مورد استفاده قرار می‌گیرد.

اصطکاک کلی موتور مجموع دو جزء اصطکاک های پمپی و مکانیکی است.

$$f_{mep} = f_{mep_m} + f_{mep_g} \quad (29)$$

به منظور تبدیل مقادیر فشار موثر متوسط به گشتاور از رابطه زیر استفاده شده است:

$$T_f = f_{mep} \frac{V_d}{4\pi} \quad (30)$$

### زیر الگوی دمای موتور

چنان که اشاره شد، دمای موتور و بخصوص دمای روغن موتور تاثیر بسزایی در تعیین اصطکاک های داخلی موتور بر عهده دارد. این تاثیرات عمدتاً به علت تغییرات ویسکوزیته روغن است که خود باعث تغییرات اصطکاک های تر<sup>۱</sup> موتور می‌شود. در هر صورت دمای بلوكه موتور یکی از پارامترهایی که به منظور تخمین گشتاور های اصطکاکی مورد نیاز است. با استفاده از بالанс انرژی در بلوكه و استفاده از روش مقادیر توده ای<sup>۲</sup> در تحلیل گرمایی گذرای سیلندر داریم:

$$m_e \cdot c_e \dot{T}_e = \dot{H}_w(t) - k \cdot A(T_e(t) - T_{amb}) \quad (31)$$

که در آن k ضریب انتقال حرارتی معادل (ناشی از کلیه روش های انتقال حرارت) است، برای محاسبه این ضریب انتقال حرارت پژوهش های متعددی صورت گرفته است. A سطح موثر انتقال حرارت،  $c_p$  گرمای ویژه بلوكه سیلندر است و  $H_w$  با استفاده از رابطه زیر محاسبه می‌گردد:

$$\dot{H}_w(t) = (1 - \eta_e) H_l \cdot \dot{m}_\phi(t) - \dot{H}_{eg}(t) \quad (32)$$

که در آن  $\eta_e$  بازده حرارتی موتور،  $H_l$  گرمای سوختن گازوئیل و نرخ خروج انتالپی از طریق گازهای خروجی از سیلندر است.

### مدل اصطکاک های داخلی

گشتاور ایجاد شده به وسیله احتراق صرف غلبه بر نیرو های اصطکاکی و بارهای تحملی به موتور می‌شود. نیروهای داخلی موتور عمدتاً از نوع اصطکاک های تر بوده و تحلیل آنها بسیار پیچیده است. در مدل سازی های دینامیکی به قوانین ساده و در عین حال دقیق از پدیده های اصطکاکی نیازمندیم.

با تحلیل دقیق تر پدیده های موجود در موتور، می‌توان نیروهای اصطکاکی را به دو نوع عمده تقسیم بندی نمود:

- اصطکاک های پمپی

- اصطکاک های مکانیکی

اصطکاک های پمپی به آن دسته از افت های موتور اطلاق می‌شود که ناشی از خاصیت پمپی موتور است. موتورها علاوه بر ایجاد توان، همانند یک کمپرسور هوا را متراکم کرده و به محیط باز می‌گردانند. توان مورد نیاز برای متراکم نمودن هوا، از توان تولیدی موتور حاصل می‌شود. بنابراین بخشی از توان تولیدی موتور بواسطه خاصیت پمپی موتور تلف خواهد شد. به طور کلی کار پمپی را می‌توان انرژی لازم برای افزایش فشار گاز از فشار چندراهه ورودی به فشار چندراهه خروجی دانست.

از آنجا که اصولاً در ادبیات اصطکاک های موتور، بجای استفاده از گشتاور، از فشار موثر متوسط استفاده می‌شود، لذا درگزارش این پژوهش نیز از معادل فشار موثر متوسط استفاده شده است. در مدل حاضر به منظور شبیه سازی گشتاور مذکور از رابطه زیر استفاده شده است:

$$f_{mep_g} = P_r - P_v \quad (26)$$

که در آن  $f_{mep_g}$ ، آن بخش از فشار موثر متوسط اصطکاکی است که به واسطه خاصیت پمپی موتور تلف می‌شود.

افت های موجود در موتورهای درونسوز تنها به افت های پمپی خلاصه نمی‌شود، بخشی از انرژی تولید شده در موتور به واسطه اصطکاک های مکانیکی بین اجزای متحرک موتور مصرف می‌شود. همچنین برخی اجزای موتور نظیر پمپ آب و پمپ روغن نیز به منظور حرکت نیاز به کار مکانیکی دارند. از آنجا که اصطکاک های موجود در موتورهای درونسوز از نوع اصطکاک تر می‌باشد، لذا عمدتاً با سرعت موتور متناسب است.

مدل های مختلفی به منظور تعیین افت های ناشی از اصطکاک های مکانیکی موتور ارائه شده است. که از آن جمله می‌توان به مدل ارائه شده توسط Heywood و همکارانش اشاره نمود. که در آن فشار موثر متوسط اصطکاکی به عنوان تابعی از سرعت دورانی موتور و سرعت متوسط پیستون تعیین می‌شود [۲۳].

$$f_{mep_m} = C_1 + \frac{48N}{1000} + 0/4S_p^2 \quad (27)$$

که در آن  $C_1$  ضریبی است که با استفاده از آزمایش تعیین می‌گردد و سرعت متوسط پیستون می‌باشد. در این پژوهش از روش ارائه شده توسط Stöckli به منظور شبیه سازی اصطکاک های داخلی موتور استفاده شده است. این مدل ضمن سادگی قادر است رفتار متغیر با دمای اصطکاک در حين فرآیند گرم شدن موتور را نیز مدل کند [۱۰]. رابطه مورد استفاده به شکل زیر است :

$$f_{mep_m} = k_1(T_e)(k_r + k_v \cdot S_p^2 \cdot \omega_e^2) \Pi_{e,max} \sqrt{\frac{k_f}{B}} \quad (28)$$

که در آن  $T_e$  دمای موتور در هر لحظه،  $S$  کورس موتور،  $B$  قطر سیلندر،  $\Pi_{e,max}$  نسبت بیشترین فشار چندراهه خروجی به ورودی در سرعت های پایین موتور و ضرایب چهارگانه  $k$  نیز با مطابق جدول و شکل بدست می‌آیند.

<sup>1</sup> Wet Friction

<sup>2</sup> Lumped

### مدل دینامیکی میل لنگ

هدف از ایجاد مدل حاضر بررسی تاثیرات پارامترهای مختلف بر سرعت موتور است. لذا لازم است ارتباطی بین پارامترهای پیش گفته و سرعت موتور بیاییم. گشتاورهای تولیدی توسعه احتراق باعث ایجاد شتاب زاویه ای در میل لنگ می شود، این گشتاور همچنین باید بار اعمالی به موتور و نیز گشتاورهای اصطکاکی موتور را تأمین نماید. رابطه کلی حاکم بر دینامیک میل لنگ، رابطه قانون دوم نیوتون برای دینامیک اجسام دورانی است.

$$T_i(t - \tau_i) - T_f - T_{load} = I \cdot \dot{\theta} \quad (33)$$

که در آن  $T_i$  گشتاور تولیدی موتور،  $T_f$  گشتاور های اصطکاکی،  $I$  اینرسی دورانی میل لنگ و  $\dot{\theta}$  تا خیر زمانی بین پاشش سوخت تا زمان تولید گشتاور در سیکل می باشد که بر اساس مطالعات Winterbore و Horlock در حدود زمان لازم برای دوران میل لنگ به میزان ۱۲۰ درجه می باشد [۱۸].

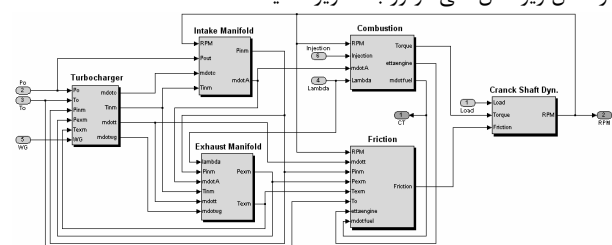
### مدل کلی موتور

چنان که دیده شد، به منظور شبیه سازی عملکرد دینامیکی موتور، ملزم به شبیه سازی اجزای مختلف موتور در قالب زیرالگو هایی بودیم که هر یک شامل روابط فیزیکی حاکم بر اجزای مختلف موتور می باشند. این قوانین بعضاً به شکل معادلات دیفرانسیلی در حوزه زمان ظاهر می شدند که این خود باعث پویایی (دینامیکی) بودن مدل می شود.

در مدل نهایی موتور، زیرالگوهای پیش گفته با استفاده از اتصالات مناسب با یکدیگر تلفیق شده و در نهایت مدل کلی حاکم بر موتور را به وجود می آورد. مدل نهایی باید قادر باشد در زمان معقول، خروجی را بر حسب ورودی های مدل تخمین و ارائه نماید.

مدل حاصله با توجه به نیازهای مدل مورد استفاده در طراحی دور آرام بوجود آمده است. این مدل قادر است تغییرات گشتاور تولیدی در سرعت های پایین و نیز شرایط گرم شدن موتور را بخوبی مدل سازی نماید. مدل های مختلف بسته به کاربری، ممکن است بسیاری از پارامترهای مدل حاضر را لحاظ ننمایند.

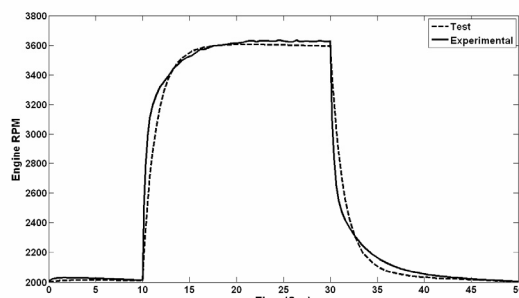
در شکل زیر مدل کلی موتور به تصویر کشیده شده است:



شکل (۳۴) بلوک دیاگرام کلی موتور در محیط نرم افزار شبیه ساز

چنان که دیده می شود، ورودی های مدل موتور عبارتند از :

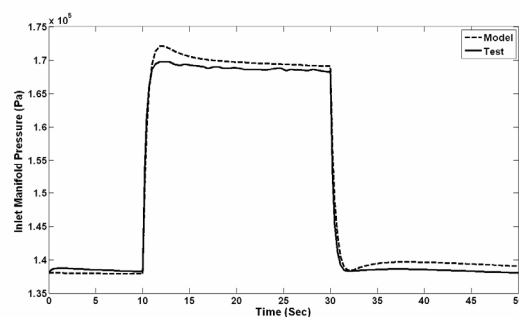
- بار موتور
- نسبت هم ارزی
- زاویه پاشش سوخت
- درصد گشودگی شیر Wastegate
- فشار محیط
- دمای محیط
- خروجی آن سرعت موتور می باشد.



شکل (۳۵) مقایسه سرعت موتور در آزمون حالت گذرا

مقایسه سرعت های ناشی از آزمون و مدل، نشان از انطباق خوب بین نتایج است. چنان که دیده می شود، نتایج حاصله در بخش پایای کارکرد موتور نیز انطباق بسیار مناسبی با نتایج تست دارد.

در منحنی های بعدی فشار چندراهه ورودی و خروجی مورد صحت سنجی قرار گرفته است.

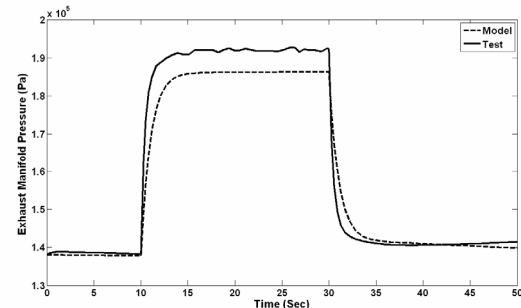


شکل (۳۶) مقایسه فشار چندراهه ورودی موتور در آزمون حالت گذرا

مقایسه منحنی فشار چندراهه ورودی نشان از انطباق بسیار خوب بین مدل و آزمون است که می تواند بخوبی صحت مدل ایجاد شده را نتیجه دهد.

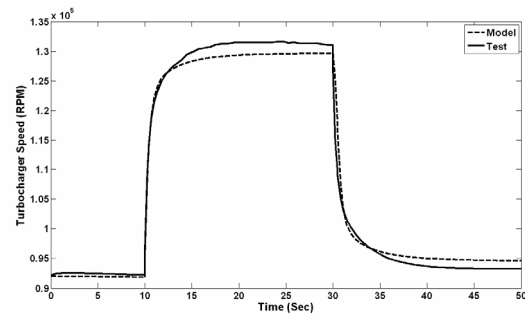
## مراجع

- [1] Dobner, D. J., "Dynamic Engine Models for Control Development. Part 1. Nonlinear and Linear Formulation" In. J. of Vehicle Design, Technological Advances in Vehicle Design Series, SP4, Application of Control Theory in the Automotive Industry, 1982, pp. 54-74.
- [2] Moskwa, J. J., and Hedrick, J. K., "Modeling and Validation of Automotive Engines for Control Algorithm Development," ASME JOURNAL OF DYNAMIC SYSTEMS, MEASUREMENT, AND CONTROL, June, 1992.
- [3] Flower, J. O., and Gupta, R. K., "Optimal Control Consideration of Diesel Engine Discrete Models," Int. J. Control, Vol. 19, No. 6, 1974, p. 1057-1068.
- [4] Flower, J. O., and Windett, G. P., "Dynamic Measurements of a Large Diesel Engine Using P.R.B.S. Techniques—Part I Development of Theory for Closed Loop Sampled Systems,—Part II Instrumentation, Experimental Techniques and Results," Int. J. Control, Vol. 24, No. 3, 1976, pp. 379-404.
- [5] Kamei, E., Namba, H., Osaki, K., and Ohba, M., "Application of Reduced Order Model to Automotive Engine Control System," ASME JOURNAL OF DYNAMIC SYSTEMS, MEASUREMENT, AND CONTROL, Vol. 109, Sept., 1987.
- [6] Jensen, J.-P., Kristensen, A. F., Serenson, S. C., Houbak, N., and Hendricks, E., "Mean Value Modeling of a small Turbocharged Diesel Engine," SAE Paper No. 910070, 1991.
- [7] Winterbone, D. E., Thiruvarooran, C, and Wellstead, P. E., "A Wholly Dynamic Model of Turbocharged Diesel Engine for Transfer Function Evaluation" SAE Paper No. 770124, 1977.
- [8] Watson, N., "Dynamic Turbocharged Diesel Engine Simulator for Electronic Control System Development," ASME JOURNAL OF DYNAMIC SYSTEMS, MEASUREMENT, AND CONTROL, Vol. 106, March, 1984.
- [9] Lei, Ning, "A Cycle Simulation Program for the Dynamic Operation of a Single Cyhnder Direct Injection Diesel," Department of Mechanical Engineering, University of Wisconsin-Madison, M.S. thesis, 1988.
- [10] L.Guzzella , C.H.Onder "Introduction to Modeling and Control of Internal Combustion Engine Systems", Springer, 2004
- [11] WANG Haiyan , ZHANG Jundong "Control Oriented Dynamic Modeling of a Turbocharged Diesel Engine" Proceedings of the Sixth International Conference on Intelligent Systems Design and Applications (ISDA'06), 2006
- [12] Paolo Falcone, Stefania Santini, Peter Langthaler "Torque generation model for Diesel Engine" Pmceedings of the 42nd IEEE Conference on Decision and Control Maui, Haraii USA, December 2003
- [13] Isermann R, Sinsel S, Schaffnit J. "Modeling and real-time simulation of diesel engines for control design" SAE Technical Paper Series. Number 980706, 1998.
- [14] Heywood, J. B., Internal Combustion Engine Fundamentals, McGraw- Hill, 1988.
- [15] Minghui Kao , John J. Moskwa , "Turbocharged Diesel Engine Modeling for Nonlinear Engine Control and State Estimation" JOURNAL OF DYNAMIC SYSTEMS, MEASUREMENT, AND CONTROL., 1995
- [16] El-Gammal, A. M., "An Algorithm and Criteria for Compressor Characteristics Real Time Modeling and Approximation," ASME Journal of Engineering for Gas Turbines and Power, Vol. 113, Jan., 1991.



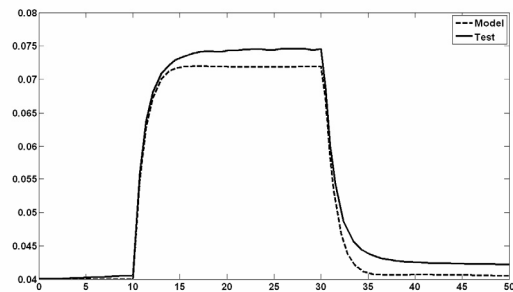
شکل (۳۷) مقایسه فشار چندراهه خروجی موتور در آزمون حالت گذرا

چنان که در شکل دیده می شود، نتیجه آزمون فشار چندراهه خروجی به مطلوبیت فشار چندراهه ورودی نیست و شاهد تفاوت هایی بالاخص در محدوده گذرا می باشیم. تغییرات زینه بندی در حالت گذار موجب تغییر در مقاطع پایا می شود. به همین جهت خطای حاصله را می پذیریم. شایان ذکر است در این تست خطای مدل و واقعیت حدود  $\frac{1}{3}$ % می باشد که قابل چشم پوشی است.



شکل (۳۸) مقایسه سرعت دورانی توربواشرز در آزمون حالت گذرا

یکی از پیچیده ترین قسمت های زینه بندی مدل، بخش توربواشرز است. منحنی فوق نتایج حاصل از آزمون سرعت توربواشرز را نشان می دهد. انطباق حاصله فوق العاده مطلوب ارزیابی می شود. اصولاً ایجاد مدلی با چنین دقتی می تواند ما را در طراحی کنترلهای مسیر توربواشرز نظری کنترل Wastegate و نیز کنترلهای توربین های هندسه متغیر بخوبی باری نماید.



شکل (۳۹) مقایسه دمای هوای موتور در آزمون حالت گذرا

یکی دیگر از پارامترهای مهم که بر کارآیی مدل و اعتبار آن فوق العاده اثر گذار است، دمای جریان هوای گذرنده از موتور است. منحنی فوق نشان می دهد این پارامتر نیز بخوبی مدل شده است. پارامتر فوق ناشی از بازده تنفسی موتور، توربواشرز و دینامیک گاز چندراهه ها می باشد. بنابراین می تواند گویای صحت مدل سازی مجموعه های نامبرده باشد.

- [17] Benson R. S. , Whitehouse N. D., "Internal Combustion Engines", vol. 2, Pergamin Press, Oxford , 1979
- [18] Horlock, J. H., and Winterbone, D. E., The Thermodynamics and Gas Dynamics of Internal-Combustion Engines Volume II, Clarendon Press, 1
- [19] Jesper Ritzen , "Modelling and Fixed Step Simulation of a Turbo Charged Diesel Engine" Master's thesis, Vehicular Systems, Dept. of Electrical Engineering Linkoping University , 2003
- [20] Kao, M., and Moskwa, J. J., "Nonlinear Turbocharged Diesel Engine Control and State Estimation," ASME Winter Annual Meeting, New Orleans, La., Nov., 1993.
- [21] Robert Bosch GmbH, "Diesel Engine Management" 4<sup>th</sup> edition, J.Wiley & Sons, 2005
- [22] Gerhardt J., Honninger H. and Bischof H., "A new Approach to Functional and Software Structure for Engine Management Systems BOSCH ME7", SAE paper 98080, 1998
- [23] Patton K.J., Nitschke R. G. and Heywood J. B., "Development and Evaluation of a friction Model for Spark Ignition Engine" SAE paper 890836, 1989